

## Formulário de Eletrodinâmica

### Produto Interno

$$\begin{aligned}\vec{A} &= A_x \hat{x} + A_y \hat{y} + A_z \hat{z} \\ \vec{B} &= B_x \hat{x} + B_y \hat{y} + B_z \hat{z} \\ \vec{A} \cdot \vec{B} &= A_x B_x + A_y B_y + A_z B_z = \|\vec{A}\| \|\vec{B}\| \cos \theta\end{aligned}$$

### Produto Vetorial e Anticomutatividade

$$\begin{aligned}\vec{A} \times \vec{B} &= \vec{C} \\ \|\vec{C}\| &= \|\vec{A}\| \|\vec{B}\| \sin \theta \\ \vec{B} \times \vec{A} &= -\vec{A} \times \vec{B}\end{aligned}$$

### Notação de Einstein e Tensores

- Soma implícita sobre *índices repetidos*:  $A_i B_i = \sum_i A_i B_i$
- Produto vetorial com símbolo de Levi-Civita:  $(\vec{A} \times \vec{B})_i = \varepsilon_{ijk} A_j B_k$

### Rotações e Matrizes de Transformação

$$\begin{aligned}\text{Em 2D: } \begin{pmatrix} A'_x \\ A'_y \end{pmatrix} &= \begin{pmatrix} \cos \theta & \sin \theta \\ -\sin \theta & \cos \theta \end{pmatrix} \begin{pmatrix} A_x \\ A_y \end{pmatrix} \\ \text{Em 3D: } \begin{pmatrix} A'_x \\ A'_y \\ A'_z \end{pmatrix} &= \begin{pmatrix} \cos \theta & \sin \theta & 0 \\ -\sin \theta & \cos \theta & 0 \\ 0 & 0 & 1 \end{pmatrix} \begin{pmatrix} A_x \\ A_y \\ A_z \end{pmatrix}\end{aligned}$$

## Cálculo: Derivadas e Integrais

### Derivadas

Definição:

$$\frac{d}{dx} f(x) = \lim_{\Delta x \rightarrow 0} \frac{f(x + \Delta x) - f(x)}{\Delta x}$$

Regras importantes:

- **Produto:**  $(fg)' = f'g + fg'$
- **Cadeia:**  $\frac{d}{dx} f(g(x)) = f'(g(x)) \cdot g'(x)$
- **Quociente:**  $\left(\frac{f}{g}\right)' = \frac{f'g - fg'}{g^2}$

### Integrais

Integral indefinida:

$$\int f(x) dx$$

Alguns resultados e técnicas:

- **Integral definida:**  $\int_a^b f(x) dx$
- **Integração por partes:**  $\int u dv = uv - \int v du$

## Operadores Diferenciais

### Laplaciano em Coordenadas Cartesianas

$$\nabla^2 f = \frac{\partial^2 f}{\partial x^2} + \frac{\partial^2 f}{\partial y^2} + \frac{\partial^2 f}{\partial z^2}$$

### Laplaciano em Coordenadas Esféricas

Para uma função  $f(r, \theta, \phi)$ :

$$\nabla^2 f = \frac{1}{r^2} \frac{\partial}{\partial r} \left( r^2 \frac{\partial f}{\partial r} \right) + \frac{1}{r^2 \sin \theta} \frac{\partial}{\partial \theta} \left( \sin \theta \frac{\partial f}{\partial \theta} \right) + \frac{1}{r^2 \sin^2 \theta} \frac{\partial^2 f}{\partial \phi^2}$$

### Coordenadas Esféricas

Relação entre coordenadas cartesianas e esféricas:

$$x = r \sin \theta \cos \phi,$$

$$y = r \sin \theta \sin \phi,$$

$$z = r \cos \theta.$$

### Elementos diferenciais em coordenadas esféricas

$$d\vec{l} = dr \hat{r} + r d\theta \hat{\theta} + r \sin \theta d\phi \hat{\phi}$$

$$d\vec{A} = r^2 \sin \theta d\theta d\phi \hat{r}$$

$$dV = r^2 \sin \theta dr d\theta d\phi$$

## Formulário de Derivadas e Integrais

### Derivadas

Sejam  $u$  e  $v$  funções deriváveis de  $x$  e  $n$  uma constante.

1.  $y = uv \Rightarrow y' = u'v + uv'$
2.  $y = u^n \Rightarrow y' = n u^{n-1} u'$
3.  $y = e^u \Rightarrow y' = e^u u'$
4.  $y = a^u \Rightarrow y' = a^u \ln(a) u'$
5.  $y = \ln(u) \Rightarrow y' = \frac{u'}{u}$
6.  $y = \log_a(u) \Rightarrow y' = \frac{u'}{u \ln(a)}$
7.  $y = \sin(u) \Rightarrow y' = \cos(u) u'$
8.  $y = \cos(u) \Rightarrow y' = -\sin(u) u'$
9.  $y = \tan(u) \Rightarrow y' = \sec^2(u) u'$
10.  $y = \cot(u) \Rightarrow y' = -\csc^2(u) u'$
11.  $y = \sec(u) \Rightarrow y' = \sec(u) \tan(u) u'$
12.  $y = \csc(u) \Rightarrow y' = -\csc(u) \cot(u) u'$

### Integrais

1.  $\int du = u + C.$
2.  $\int u^n du = \frac{u^{n+1}}{n+1} + C, \quad n \neq -1.$
3.  $\int \frac{du}{u} = \ln|u| + C.$
4.  $\int a^u du = \frac{a^u}{\ln(a)} + C.$
5.  $\int e^u du = e^u + C.$
6.  $\int \sin(u) du = -\cos(u) + C.$
7.  $\int \cos(u) du = \sin(u) + C.$
8.  $\int \sec^2(u) du = \tan(u) + C.$
9.  $\int \csc^2(u) du = -\cot(u) + C.$
10.  $\int \sec(u) \tan(u) du = \sec(u) + C.$
11.  $\int \csc(u) \cot(u) du = -\csc(u) + C.$
12.  $\int \tan(u) du = -\ln|\cos(u)| + C.$
13.  $\int \cot(u) du = \ln|\sin(u)| + C.$
14.  $\int \sec(u) du = \ln|\sec(u) + \tan(u)| + C.$
15.  $\int \csc(u) du = -\ln|\csc(u) + \cot(u)| + C.$

### Geometria

#### Círculo

- Área do círculo:  $A = \pi r^2$
- Comprimento do círculo:  $C = 2\pi r$

#### Esfera

- Área da esfera:  $A = 4\pi r^2$
- Volume da esfera:  $V = \frac{4}{3}\pi r^3$

## Lei de Coulomb

- Força entre duas cargas:  $\vec{F} = \frac{1}{4\pi\epsilon_0} \frac{qQ}{R^2} \hat{R}$
- Campo elétrico gerado por uma carga:  $\vec{E}(\vec{r}) = \frac{1}{4\pi\epsilon_0} \int \frac{\hat{R}}{R^2} dq$

## Distribuições de carga

- Linear:  $dq = \lambda dl$
- Superficial:  $dq = \sigma dS$
- Volumétrica:  $dq = \rho dV$

## Função Delta de Dirac

- Propriedade fundamental:

$$\int_{-\infty}^{\infty} f(x) \delta(x-a) dx = f(a)$$

- Em 3D:  $\delta^3(\vec{r}) = \delta(x)\delta(y)\delta(z)$
- Aparece como representação de cargas pontuais.

## Equações de Maxwell

### Equações de Maxwell - Eletrostática

### Equações de Maxwell - Eletrostática

$$\begin{aligned}\vec{E} &= -\nabla\phi \\ \nabla \cdot \vec{E} &= \frac{\rho}{\epsilon_0} \\ \nabla \times \vec{E} &= 0 \quad \Rightarrow \quad \oint \vec{E} \cdot d\vec{l} = 0 \\ \nabla^2\phi &= -\frac{\rho}{\epsilon_0} \quad (\text{com carga}) \\ \nabla^2\phi &= 0 \quad (\text{sem carga})\end{aligned}$$

## Potencial expresso pelos polinômios de Legendre

$$V(r, \theta, \phi) = \sum_{\ell=0}^{\infty} \sum_{m=-\ell}^{\ell} \left( A_{\ell m} r^\ell + \frac{B_{\ell m}}{r^{\ell+1}} \right) Y_\ell^m(\theta, \phi)$$

## Potencial expresso pelos esféricos harmônicos

$$V(r, \theta) = \sum_{\ell=0}^{\infty} \left( A_\ell r^\ell + \frac{B_\ell}{r^{\ell+1}} \right) P_\ell(\cos \theta)$$

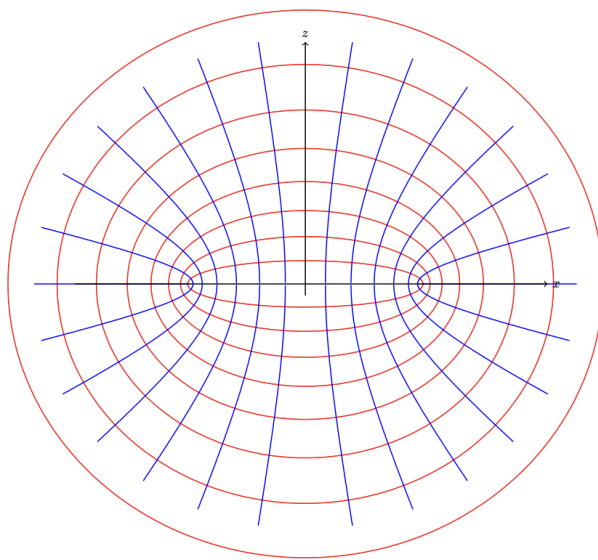
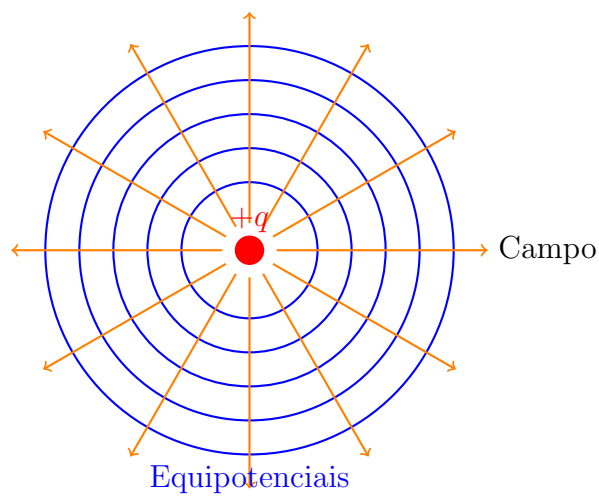


Figura 1: Linhas coordenadas no sistema esferoidal: em vermelho, as superfícies de potencial constante; em azul, as linhas do campo elétrico.

## Simetrias

### Cargas Discretas



$$\mathbf{E}(\mathbf{r}) = \frac{1}{4\pi\epsilon_0} \sum_i \frac{q_i(\mathbf{r} - \mathbf{r}_i)}{|\mathbf{r} - \mathbf{r}_i|^3}$$

# 1 Essay: De Cargas ao Campo Elétrico

## 1.1 A carga pontual como singularidade no espaço

Uma carga pontual representa um tipo especial de distribuição de carga: ela está completamente concentrada em um único ponto do espaço. Para descrever matematicamente essa situação dentro da formulação do eletromagnetismo, recorremos à Lei de Gauss em sua forma integral:

$$\oint_S \vec{E} \cdot d\vec{A} = \frac{Q_{\text{int}}}{\epsilon_0}. \quad (1)$$

Quando o campo  $\vec{E}$  é gerado por uma carga pontual  $q$  colocada na origem, ele assume a forma radial conhecida:

$$\vec{E}(\vec{r}) = \frac{q}{4\pi\epsilon_0 r^2} \hat{r}. \quad (2)$$

Aplicando a Lei de Gauss em uma esfera de raio arbitrário centrada na origem, encontramos que a carga interna  $Q_{\text{int}}$  deve ser igual a  $q$ . Para compatibilizar essa distribuição com a forma diferencial da Lei de Gauss,

$$\nabla \cdot \vec{E} = \frac{\rho}{\epsilon_0}, \quad (3)$$

a única distribuição  $\rho$  capaz de gerar o campo acima é:

$$\rho(\vec{r}) = q\delta^3(\vec{r}), \quad (4)$$

a chamada *função delta de Dirac*.

## 1.2 O fluxo do campo elétrico

O estudo do campo elétrico começa com a análise do efeito de **cargas pontuais** sobre o espaço ao seu redor. Para um conjunto de cargas discretas  $q_i$  localizadas em posições  $\vec{r}_i$ , o campo elétrico em um ponto  $\vec{r}$  é dado pela superposição dos campos individuais:

$$\vec{E}(\vec{r}) = \frac{1}{4\pi\epsilon_0} \sum_i \frac{q_i(\vec{r} - \vec{r}_i)}{|\vec{r} - \vec{r}_i|^3} \quad (5)$$

Essa expressão é a forma mais geral do campo, válida para distribuições discretas. No entanto, ao lidarmos com grandes quantidades de carga distribuídas no espaço, torna-se mais eficiente descrever o sistema por uma densidade de carga contínua  $\rho(\vec{r})$ , levando à formulação integral:

$$\vec{E}(\vec{r}) = \frac{1}{4\pi\epsilon_0} \int \frac{\rho(\vec{r}')(\vec{r} - \vec{r}')}{|\vec{r} - \vec{r}'|^3} d^3r' \quad (6)$$

A partir dessa noção de distribuição contínua, emerge naturalmente a aplicação da **Lei de Gauss**, que fornece uma forma alternativa e muitas vezes mais prática de calcular o campo elétrico, relacionando o *fluxo* do campo através de uma superfície fechada à carga total no interior:

$$\oint_S \vec{E} \cdot d\vec{A} = \frac{Q_{\text{int}}}{\epsilon_0} \quad (7)$$

Quando encontramos sistemas altamente simétricos, como uma esfera condutora, um fio infinito ou um plano carregado, essa equação se revela uma aliada poderosa. Nesses cenários, o campo  $\vec{E}$  é constante em módulo e direção a uma superfície que seja sempre perpendicular ao campo e nulo caso sejam paralelos, desta forma caso esta Área possa ser definida desta forma, a integral da superfície se reduz a:

$$E \cdot A = \frac{Q_{\text{int}}}{\epsilon_0} \quad (8)$$

onde  $A$  é a área da superfície gaussiana. Com isso, extrai-se o campo para cada situação:

- Carga pontual:  $E(r) = \frac{1}{4\pi\epsilon_0} \frac{q}{r^2}$
- Fio infinito:  $E(r) = \frac{\lambda}{2\pi\epsilon_0 r}$
- Plano infinito:  $E = \frac{\sigma}{2\epsilon_0}$

### 1.3 Quando a simetria não basta para aplicação da Lei de Gauss

Nem todos os sistemas possuem simetria suficiente para a aplicação fácil da Lei de Gauss. Quando o campo elétrico se torna irregular, sem que haja uma superfície facilmente integrável que acompanhe essa irregularidade, recorre-se ao conceito de potencial elétrico escalar  $V$ .

Sabendo que o campo elétrico é conservativo em regiões eletrostáticas:

$$\nabla \times \vec{E} = 0 \quad (9)$$

pode-se defini-lo como o gradiente negativo de uma função escalar:

$$\vec{E} = -\nabla V \quad (10)$$

Esse potencial representa o trabalho por unidade de carga para mover uma carga de uma referência  $\vec{r}_0$  até o ponto  $\vec{r}$ :

$$V(\vec{r}) = - \int_{\vec{r}_0}^{\vec{r}} \vec{E} \cdot d\vec{l} \quad (11)$$

O ponto de referência  $\vec{r}_0$  é arbitrário, pois devido ao campo elétrico ter rotacional nulo, sabemos que a integral do campo em um caminho fechado é nulo, o que vetorialmente é equivalente a dizer que apenas a diferença de potencial  $V(\vec{b}) - V(\vec{a})$  tem significado físico. O referencial em  $\vec{r}_0$  é utilizado para definir de forma única um potencial em um ponto de prova  $\vec{r}$ , e é uma escolha conveniente como por exemplo a definição do potencial nulo no infinito, no centro de simetria, ou em uma borda condutora — sempre com o objetivo de simplificar o cálculo e adequar a solução às condições físicas do sistema..

$$V(b) - V(a) = - \int_a^b \vec{E} \cdot d\vec{l} \quad (12)$$

$$W = Q(V_b - V_a) \quad (13)$$

## 1.4 Do campo ao potencial: equações diferenciais

A Lei de Gauss em forma diferencial nos conduz a:

$$\nabla \cdot \vec{E} = \frac{\rho}{\epsilon_0} \quad (14)$$

Substituindo  $\vec{E} = -\nabla V$ :

$$\nabla \cdot (-\nabla V) = -\nabla^2 V = \frac{\rho}{\epsilon_0} \Rightarrow \nabla^2 V = -\frac{\rho}{\epsilon_0} \quad (15)$$

Esta é a **equação de Poisson**, válida onde há carga. Em regiões sem carga, temos a **equação de Laplace**:

$$\nabla^2 V = 0 \quad (16)$$

## 1.5 Capacitores e o papel do potencial eletrostático

A diferença de potencial  $\Delta V$  entre dois condutores eletrizados define um dos dispositivos fundamentais da eletrostática: o capacitor. Um capacitor armazena energia elétrica ao manter cargas opostas em dois condutores separados, mantendo entre eles um campo elétrico estável.

A relação entre a carga  $Q$  e a diferença de potencial  $\Delta V$  define a capacidade  $C$  do sistema:

$$C = \frac{Q}{\Delta V}. \quad (17)$$

Para configurações geométricas simples, essa expressão pode ser calculada diretamente. Por exemplo, para um capacitor de placas paralelas com área  $A$  e separação  $d$ :

$$C = \epsilon_0 \frac{A}{d}. \quad (18)$$

O campo entre as placas é uniforme, e o potencial varia linearmente. Outros exemplos notáveis incluem:

- Esfera condutora de raio  $R$ :  $C = 4\pi\epsilon_0 R$ ;
- Capacitor esférico: dois cascos concéntricos de raio  $a$  e  $b$ :

$$C = 4\pi\epsilon_0 \frac{ab}{b-a} \quad (19)$$

Assim, os capacitores exemplificam como a diferença de potencial adquire interpretação prática, relacionando o armazenamento de energia à geometria e à permissividade do meio.

## 1.6 Energia Armazenada no Campo Elétrico

$$W = \frac{1}{2} \int_V \rho(\vec{r}') V(\vec{r}') d^3 r' \quad (20)$$

$$\text{Com Lei de Gauss: } \nabla \cdot \vec{E} = \frac{\rho}{\epsilon_0} \Rightarrow W = \frac{\epsilon_0}{2} \int \vec{E}^2 d^3 r \quad (21)$$

$$W = \frac{1}{4\pi\epsilon_0} \left( \frac{q_1 q_2}{r_{12}} + \frac{q_1 q_3}{r_{13}} + \frac{q_2 q_3}{r_{23}} \right) \quad (22)$$

## 1.7 Caso Discreto: Energia de Interação

- Energia de interação entre cargas pontuais:

$$W = \frac{1}{2} \sum_i q_i V(\vec{r}_i) = \frac{1}{4\pi\epsilon_0} \sum_{i < j} \frac{q_i q_j}{r_{ij}} \quad (23)$$

- Auto-interação diverge:

$$\frac{q_i^2}{4\pi\epsilon_0 r_{ii}} \rightarrow \infty \quad (\text{deve ser excluída}) \quad (24)$$

## 1.8 Os três caminhos para resolver $V$

- **Método das imagens:** útil quando há planos condutores ou simetrias geométricas simples.
- **Polinômios de Legendre:** aplicáveis quando há simetria azimutal (independência de  $\phi$ ) em coordenadas esféricas.
- **Harmônicos esféricos:** usados quando não há simetria adicional — o caso mais geral.

Uma consequência prática e conceitual importante é que, sendo o potencial uma função escalar, a equação diferencial associada à sua determinação envolve uma única equação escalar — caso contrário, exigiria a solução simultânea de três equações diferenciais. Essa simplicidade torna o uso do potencial particularmente eficiente na resolução de problemas eletrostáticos.

## 1.9 Do potencial ao campo

Após determinar  $V(\vec{r})$ , volta-se finalmente à relação fundamental:

$$\vec{E} = -\nabla V \quad (25)$$

fechando o ciclo entre fontes  $\rho$ , potenciais e campos. O potencial atua como função intermediária, facilitando a resolução escalar em vez da vetorial, desde que as condições de contorno sejam conhecidas.

Professora: Ivone Freire Mota de Albuquerque  
Disciplina: Eletrodinâmica Clássica I  
Prova 01 - 25 de abril de 2025

Aluna: Nara Ávila Moraes  
Número USP: 5716734

---

Professora: Ivone Freire Mota de Albuquerque  
Disciplina: Eletrodinâmica Clássica I  
Prova 01 - 25 de abril de 2025

Aluna: Nara Ávila Moraes  
Número USP: 5716734

---



Professora: Ivone Freire Mota de Albuquerque  
Disciplina: Eletrodinâmica Clássica I  
Prova 01 - 25 de abril de 2025

Aluna: Nara Ávila Moraes  
Número USP: 5716734

---

Professora: Ivone Freire Mota de Albuquerque  
Disciplina: Eletrodinâmica Clássica I  
Prova 01 - 25 de abril de 2025

Aluna: Nara Ávila Moraes  
Número USP: 5716734

---